

H24-H-13 深度8.89~9.80m 最新活動面の矢印等 (No.1126-追2) を修正

従前

見直し後

第833回審査会合

机上配布資料2

敦賀発電所2号炉 敷地の地形、地質・地質構造について

参考資料2 性状一覧表

参考2-52頁

第833回審査会合 机上配布資料2に追記(青太枠)

3. K断面 性状一覧表(10/12)

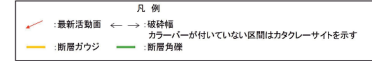
| 断面名 | 層位 | 層厚(m) | 地質 | 地質 | | 色 | 硬さ | 透水性 | 備考 | 写真 | |
|-------------------|------|-------|------|-----|------|-----|-----|-----|-----|----|---|
| | | | | 上部 | 下部 | | | | | | |
| H24-H-13 (調査) | 8.89 | 9.80 | R100 | 700 | S2.1 | 2.5 | 軟 | 非透水 | 300 | 無 | No.1126-追2 ・(赤矢印) ・(白矢印) ・(橙線) |
| | | | | | | | | | | | |
| H27-H-1 (調査) | 6.46 | 7.74 | (調査) | 355 | 1.5 | 軟 | 非透水 | - | - | - | |
| | | | | | | | | | | | |
| H27-H-2 (調査) | 5.40 | 6.42 | (調査) | 342 | 1.0 | 軟 | 非透水 | - | - | - | |
| | | | | | | | | | | | |
| H24-H-7-1 (調査) | 3.33 | 3.62 | 700 | - | - | - | - | - | - | - | |
| | | | | | | | | | | | |
| H27-H-4 (調査) | 5.81 | 6.75 | (調査) | 482 | 2.0 | 軟 | 非透水 | - | - | - | |
| | | | | | | | | | | | |



【説明】
 粘土状硬砂部、砂状硬砂部、角礫状硬砂部、
 固結した粘土状硬砂部、固結した砂状硬砂部、固結した角礫状硬砂部
 の区分の概とし、硬砂部の走向傾斜から真の層に換算した。
 【平準化】
 平準：最新活動面が連続的なもの
 非平準：最新活動面が連続しないもの
 参考2-52

| 断面名 | 層位 | 層厚(m) | 地質 | 地質 | | 色 | 硬さ | 透水性 | 備考 | 写真 | |
|-------------------|------|-------|------|-----|------|-----|-----|-----|-----|----|---|
| | | | | 上部 | 下部 | | | | | | |
| H24-H-13 (調査) | 8.89 | 9.80 | R100 | 700 | S2.1 | 2.5 | 軟 | 非透水 | 300 | 無 | No.1126-追2 ・(赤矢印) ・(白矢印) ・(橙線) |
| | | | | | | | | | | | |
| H27-H-1 (調査) | 6.46 | 7.74 | (調査) | 355 | 1.5 | 軟 | 非透水 | - | - | - | |
| | | | | | | | | | | | |
| H27-H-2 (調査) | 5.40 | 6.42 | (調査) | 342 | 1.0 | 軟 | 非透水 | - | - | - | |
| | | | | | | | | | | | |
| H24-H-7-1 (調査) | 3.33 | 3.62 | 700 | - | - | - | - | - | - | - | |
| | | | | | | | | | | | |
| H27-H-4 (調査) | 5.81 | 6.75 | (調査) | 482 | 2.0 | 軟 | 非透水 | - | - | - | |
| | | | | | | | | | | | |

※1 新層区分の総合評価に基づき記載し、尚誤
 ※2 斜めボーリングの場合は、許測速を補正した
 ※3 卓越しない成分については「-」を記載(両向き
 (上記以外)データを取得していない箇所



H27-G-1 深度6.48~7.24m 最新活動面を示す矢印の位置 (No.1126-追3) を修正

従前

見直し後

第833回審査会合

机上配布資料 2

敦賀発電所 2号炉 敷地の地形、地質・地質構造について

参考資料 2 性状一覧表

参考2-52頁

第833回審査会合 机上配布資料2に追記(青太枠)

No.1126-追3

(赤矢印位置)

3. K断層 性状一覧表(10/12)

| 新層名 | 建設段階 | 地質層記号 | 深度 | 地層厚 | 地質層区分 | | 地層名 | 性状 | 性状記号 | | 性状 | 性状 | 性状 |
|------------------|------|-------|------|-------|-------|-----|-----|-----|------|----|----|----|----|
| | | | | | 軟弱 | 硬質 | | | 軟弱 | 硬質 | | | |
| H24-G-13 (崩壊) | | R30 | 9.80 | 0.000 | 2.20 | S13 | S13 | S13 | 軟弱 | 崩壊 | 崩壊 | 崩壊 | 8 |
| | | | | | | | | | | | | | 9 |
| H27-G-1 (崩壊) | | R40 | 7.24 | (未測定) | S15 | S15 | S15 | 軟弱 | 崩壊 | 崩壊 | 崩壊 | 6 | |
| | | | | | | | | | | | | 7 | |
| H27-G-7 (崩壊) | | R40 | 6.40 | (未測定) | S12 | S12 | S12 | 軟弱 | 崩壊 | 崩壊 | 崩壊 | 5 | |
| | | | | | | | | | | | | 6 | |
| H27-G-14 (崩壊) | | R02 | 7.90 | | | | | 軟弱 | 崩壊 | 崩壊 | 崩壊 | 3 | |
| | | | | | | | | | | | | 4 | |
| H27-G-3 (崩壊) | | R10 | 6.70 | (未測定) | S10 | S10 | S10 | 軟弱 | 崩壊 | 崩壊 | 崩壊 | 5 | |
| | | | | | | | | | | | | 6 | |

凡例
 最新活動面 ← → : 破砕帯
 カラーバーが付いていない区間はカタレーサイトを示す
 : 断層がウジ : 断層内巻

【破砕帯】
 粘土状破砕部、砂状破砕部、角礫状破砕部
 固結した粘土状破砕部、固結した砂状破砕部、固結した角礫状破砕部の合計の幅とし、破砕部の充てり厚から算出した。

【充填層】
 平層 : 最新活動面が連続的なもの
 非平層 : 最新活動面が連続的なもの

参考2-52

No.1126-追3

(赤矢印位置)

| 新層名 | 建設段階 | 地質層記号 | 深度 | 地層厚 | 地質層区分 | | 地層名 | 性状 | 性状記号 | | 性状 | 性状 | 性状 |
|------------------|------|-------|------|-------|-------|-----|-----|----|------|----|----|----|----|
| | | | | | 軟弱 | 硬質 | | | 軟弱 | 硬質 | | | |
| H27-G-1 (崩壊) | | R40 | 7.24 | (未測定) | S15 | S15 | S15 | 軟弱 | 崩壊 | 崩壊 | 崩壊 | 6 | |
| | | | | | | | | | | | | 7 | |
| H27-G-7 (崩壊) | | R40 | 6.40 | (未測定) | S12 | S12 | S12 | 軟弱 | 崩壊 | 崩壊 | 崩壊 | 5 | |
| | | | | | | | | | | | | 6 | |
| H27-G-14 (崩壊) | | R02 | 7.90 | | | | | 軟弱 | 崩壊 | 崩壊 | 崩壊 | 3 | |
| | | | | | | | | | | | | 4 | |
| H27-G-3 (崩壊) | | R10 | 6.70 | (未測定) | S10 | S10 | S10 | 軟弱 | 崩壊 | 崩壊 | 崩壊 | 5 | |
| | | | | | | | | | | | | 6 | |
| H27-G-1 (崩壊) | | R40 | 7.24 | (未測定) | S15 | S15 | S15 | 軟弱 | 崩壊 | 崩壊 | 崩壊 | 6 | |
| | | | | | | | | | | | | 7 | |

凡例
 最新活動面 ← → : 破砕帯
 カラーバーが付いていない区間はカタレーサイトを示す
 : 断層がウジ : 断層内巻

※1 新層区分の総合評価に基づき記載し、両層「有」のうち総合評価「無」となる箇所は「-」を記載
 ※2 崩のボーリングの場合は、前測値を修正した値を記載
 ※3 卓越しない成分については「-」を記載(再成分「-」は薄片観察を行っていない箇所)
 -(上記以外): データを取得していない箇所

第7.4.4.11図(9) 破砕部性状一覧(K断層)

H27-G-2 深度5.40~6.40m 最新活動面を示す矢印の位置 (No.1126-追4) を修正

従前

見直し後

第833回審査会合

机上配布資料2

敦賀発電所2号炉 敷地の地形、地質・地質構造について

参考資料2 性状一覧表

参考2-53頁

第833回審査会合 机上配布資料2に追記(青太枠)

No.1126-追4

(赤矢印位置)

3. K新層
性状一覧表(10/12)

| 新層名 | 建設 番号 | 地質情報 工部局地下埋設物 調査 | 深度 (m) | 地層 名称 | 地層厚 (m) | 地質調査 結果 | | 地質 分類 | 性状 番号 | 性状 名称 | 性状 説明 | 性状 長さ (m) | 性状 位置 | | | |
|----------------------|----------|------------------------|-----------|----------|------------|------------|------------|----------|----------|----------|----------|-----------------|----------|---|---|----|
| | | | | | | 地質調査 結果 | 地質調査 結果 | | | | | | | | | |
| H24-G-13 (新層) | - | 8.89 | 8.80 | K0109 | 2.26 | S13 | S13 | S13 | 2.5 | 青 | 赤平層 | 50H | 深 | 8 | 9 | 10 |
| | | | | | | | | | | | | | | | | |
| H27-G-1 (新層) | - | 6.40 | 7.24 | (未測定) | 2.5 | S15 | S15 | 青 | 赤平層 | - | - | - | - | 6 | 7 | 8 |
| | | | | | | | | | | | | | | | | |
| K H27-G-7 (新層) | - | 6.40 | 6.40 | (未測定) | 3.2 | S12 | S12 | 青 | 赤平層 | - | - | - | - | 5 | 6 | 7 |
| | | | | | | | | | | | | | | | | |
| H26-G-14 (新層) | - | 3.13 | K05 | 7.30 | - | - | - | - | 30 | - | - | - | 3 | 4 | 5 | 6 |
| | | | | | | | | | | | | | | | | |
| H27-G-3 (新層) | - | 6.11 | 6.70 | (未測定) | 4.3 | S20 | S20 | 青 | 赤平層 | - | - | - | - | 5 | 6 | 7 |
| | | | | | | | | | | | | | | | | |

凡例

 最新活動面 ← → : 破砕帯
 カラーバーが付いていない区間はカタレーサイトを示す
 : 新層がウジ : 新層内層

【破砕帯】
 粘土状破砕部、砂状破砕部、角礫状破砕部、
 固結した粘土状破砕部、固結した砂状破砕部、固結した角礫状破砕部
 の合計の幅とし、破砕部の充てり割合から真の幅に換算した。

【岩層】
 平層 : 最新活動面が連続的なもの
 非平層 : 最新活動面が断続的なもの

参考2-52

No.1126-追4

(赤矢印位置)

| 新層名 | 建設 番号 | 地質情報 工部局地下埋設物 調査 | 深度 (m) | 地層 名称 | 地層厚 (m) | 地質調査 結果 | | 地質 分類 | 性状 番号 | 性状 名称 | 性状 説明 | 性状 長さ (m) | 性状 位置 | | | |
|------------------|----------|------------------------|-----------|----------|------------|------------|------------|----------|----------|----------|----------|-----------------|----------|---|---|---|
| | | | | | | 地質調査 結果 | 地質調査 結果 | | | | | | | | | |
| H27-G-1 (新層) | - | 6.40 | 7.24 | (未測定) | 2.5 | 青 | - | 青 | 15 | - | - | - | - | 6 | 7 | 8 |
| | | | | | | | | | | | | | | | | |
| H27-G-1 (新層) | - | 6.40 | 6.40 | (未測定) | 34.7 | 青 | - | 青 | 1.0 | - | - | - | - | 4 | 5 | 6 |
| | | | | | | | | | | | | | | | | |
| H26-G-11 (新層) | - | 5.73 | K06 | 7.00 | - | - | - | - | 80 | - | - | - | 3 | 4 | 5 | 6 |
| | | | | | | | | | | | | | | | | |
| H27-G-3 (新層) | - | 6.11 | 6.70 | (未測定) | 4.3 | 青 | - | 青 | 2.0 | - | - | - | - | 5 | 6 | 7 |
| | | | | | | | | | | | | | | | | |
| H27-G-4 (新層) | - | 4.80 | 5.05 | (未測定) | 14.7 | 青 | - | 青 | 4.0 | - | - | - | - | 4 | 5 | 6 |
| | | | | | | | | | | | | | | | | |

凡例

 最新活動面 ← → : 破砕帯
 カラーバーが付いていない区間はカタレーサイトを示す
 : 新層がウジ : 新層内層

※1 新層区分の総合評価に基づき記載し、肉眼「青」のうち総合評価「無」となる箇所は「-」を記載
 ※2 別のボーリングの場合は、前測値を補正した値を記載
 ※3 卓越しない成分については「-」を記載(再成分「-」は薄片観察を行っていない箇所)
 - (上記以外) : データを取得していない箇所

第7.4.4.11図(9) 破砕部性状一覧(K新層)

H24-H-14 深度4.93~7.81m 拡大写真枠位置 (No.1126-追6) を修正

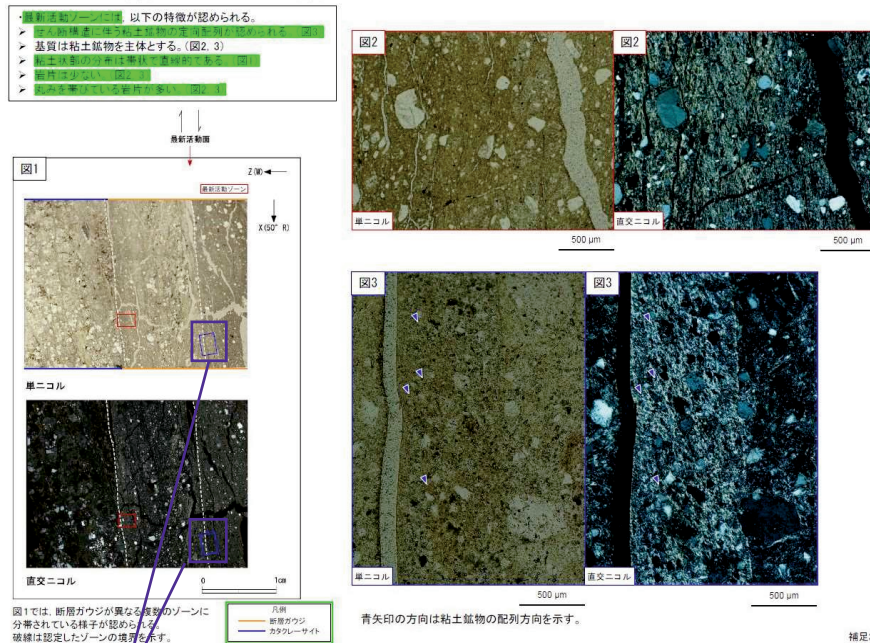
従前

見直し後

令和3年7月16日提出
 敦賀発電所2号炉 敷地の地形、地質・地質構造について (コメント回答)
 補足説明資料3 薄片観察結果 (その1)
 補足3-42

令和3年7月16日提出資料に追記 (青太枠)

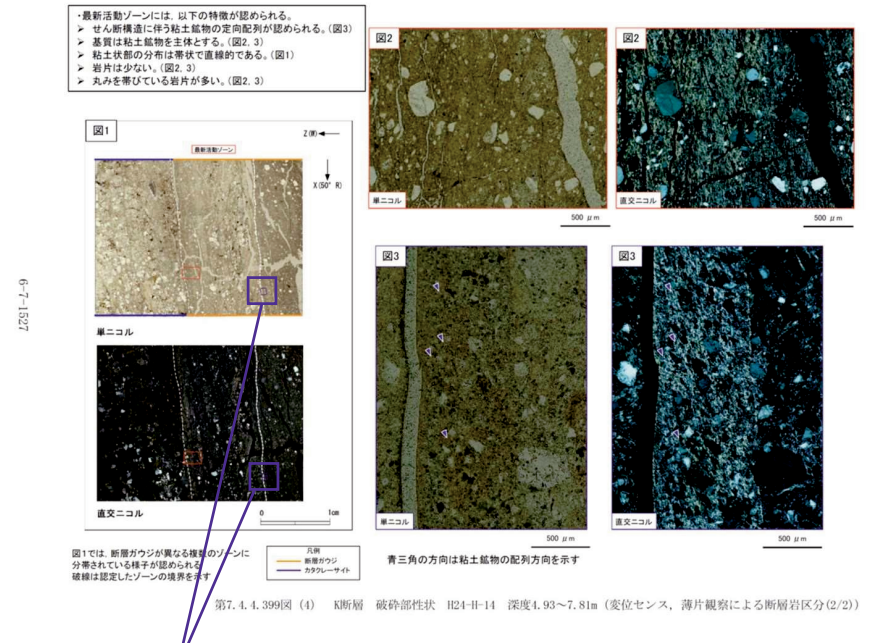
H24-H-14 深度4.93~7.81m K断層 (2/2)



No.1126-追6
 (拡大写真枠位置)

最新活動ゾーンには、以下の特徴が認められる。

- 最新活動ゾーンに伴う粘土鉱物の定向配列が認められる。(図3)
- 基質は粘土鉱物を主体とする。(図2、3)
- 粘土状部の分布は帯状で直線的である。(図1)
- 岩片は少ない。(図2、3)
- 丸みを帯びている岩片が多い。(図2、3)



No.1126-追6
 (拡大写真枠位置)

H24-D1-1 深度49.20~49.91m 断層岩区分の境界のずれ (No.1126-追7) の修正

従前

見直し後

第833回審査会合

机上配布資料1

敦賀発電所2号炉 敷地の地形、地質・地質構造について

参考資料1 薄片観察結果

参考1-214頁

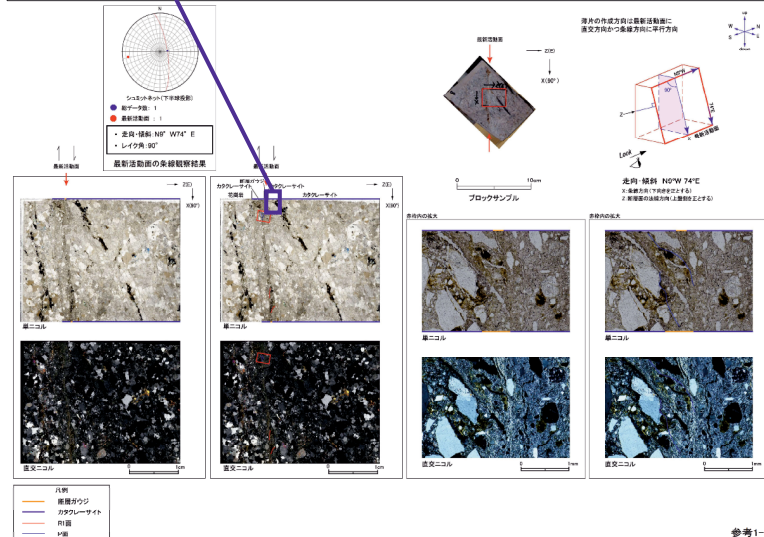
第833回審査会合 机上配布資料1に追記(青太枠)

No.1126-追7

断層ガウジの範囲

非モデル化破砕部 薄片試料観察(H24-D1-1 深度49.84m)

H24-D1-1のボーリングコア(深度49.84m)から採取した薄片試料の観察結果によれば最新活動面の変位センスは、正断層成分が卓越する。



参考1-214

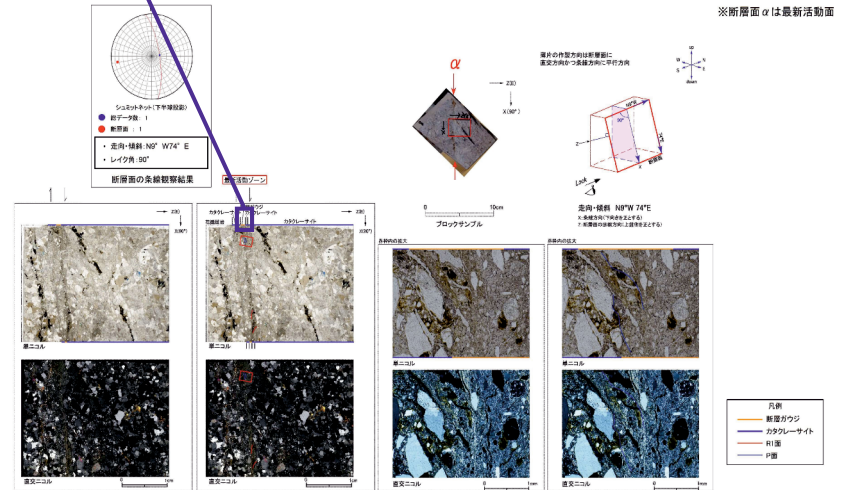
No.1126-追7

断層ガウジの範囲

・H24-D1-1のボーリングコアから採取した薄片試料の観察結果によれば最新活動ゾーンの変位センスは、正断層成分が卓越する。
 ・最新活動ゾーンには、断層ガウジとカタクレーサイトの特徴が認められるが、カタクレーサイトの特徴は、カタクレーサイトが断層ガウジに取り込まれたものと考えられることから断層ガウジと判断した。
 > (断層ガウジ)せん断構造に伴う粘土鉱物の定向配列が認められる。
 > (断層ガウジ)基質は粘土鉱物を主体とする。
 > (断層ガウジ)粘土状部の分布は帯状で直線的である。
 > 岩片は少ない。
 > (カタクレーサイト)角ばった岩片が多い。

※断層面αは最新活動面

6-7-739



第7.4.4.249図(3) 破砕部性状 H24-D1-1 深度49.20~49.91m (変位センス, 薄片観察による断層岩区分(1/2))

H27-B-1 深度42.41~42.49m 薄片試料拡大写真の向き (No.1126-追8) の修正

従前

見直し後

第1099回審査会合

資料1-4

調査データのトレーサビリティの確認結果

(その他の調査データの変更箇所と元となるデータ一式)

4-55頁

No.1126-追8

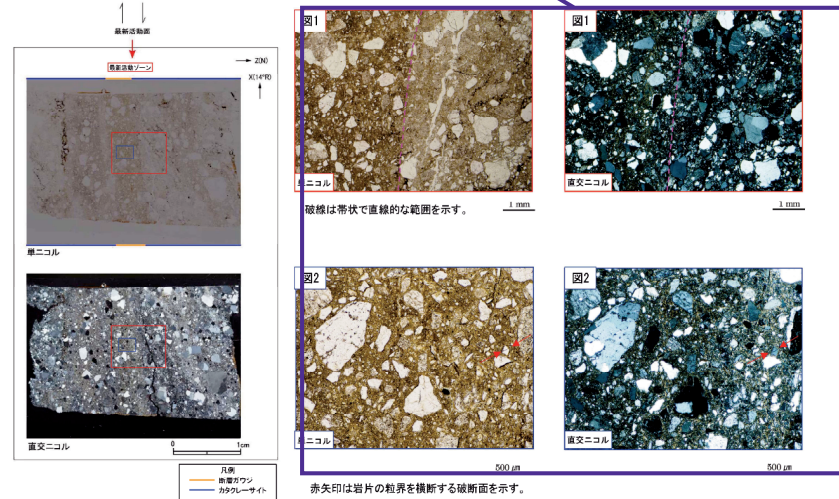
(写真向き)

第1099回審査会合 資料1-4に追記(青太枠)

H27-B-1 深度42.41~42.49m (2/2)

35のエビデンス (変位センス) (2/2)

- ・最新活動ゾーンには、以下の特徴が認められる。
- 基質は粘土鉱物を主体とする。(図2)
- 粘土状部の分布は帯状で直線的である。(図1)
- 岩片は少ない。(図2)
- 角ばった岩片が多い。(図2)
- 岩片の粒界を横断する破断面が認められる。(図2)



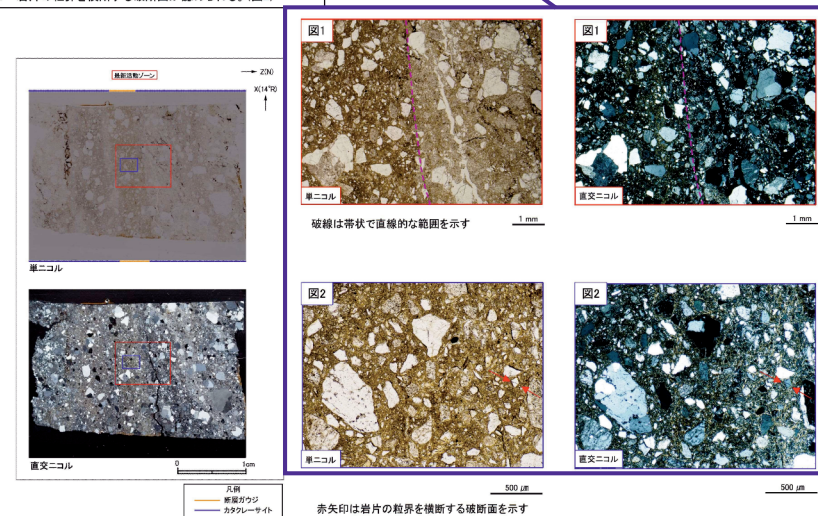
赤矢印は岩片の粒界を横断する破断面を示す。

4-55

No.1126-追8

(写真向き)

- ・最新活動ゾーンには、以下の特徴が認められる。
- 基質は粘土鉱物を主体とする。(図2)
- 粘土状部の分布は帯状で直線的である。(図1)
- 岩片は少ない。(図2)
- 角ばった岩片が多い。(図2)
- 岩片の粒界を横断する破断面が認められる。(図2)



赤矢印は岩片の粒界を横断する破断面を示す

第7.4.4.262図(4) 破砕部性状 H27-B-1 深度42.41~42.49m (変位センス, 薄片観察による断層岩区分(2/2))

H27-B-1 深度45.36~45.39m 拡大写真の縮尺 (No.1126-追9) を修正

従前

見直し後

第833回審査会合

机上配布資料 1

敦賀発電所 2号炉 敷地の地形、地質・地質構造について

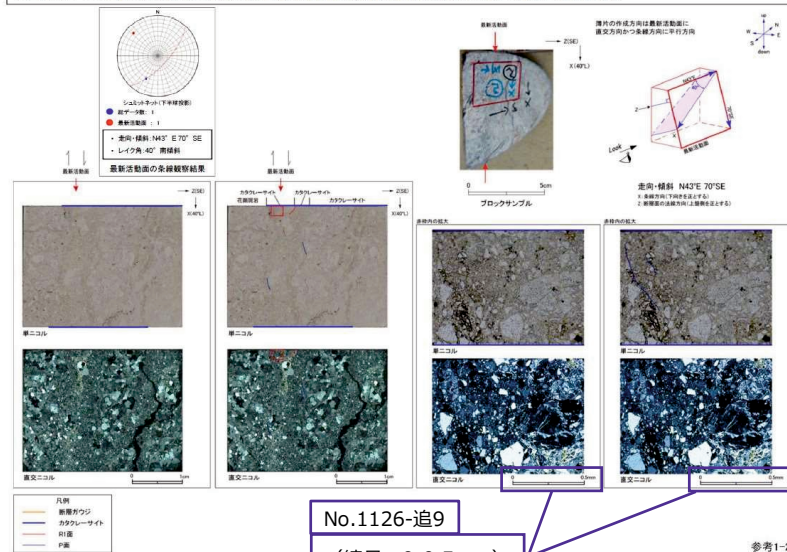
参考資料 1 薄片観察結果

参考1-232頁

第833回審査会合 参考資料1に追記 (青太枠)

非モデル化破砕部 薄片試料観察 (H27-B-1 深度45.39m)

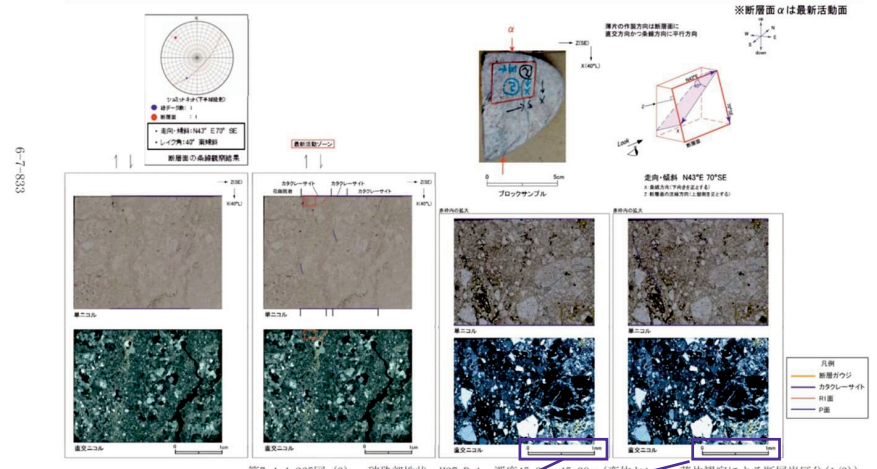
H27-B-1のボーリングコア(深度45.39m)から採取した薄片試料の観察結果によれば最新活動面の変位センスは、右ずれを伴う正断層である。



No.1126-追9
(縮尺: 0-0.5mm)

参考1-232

H27-B-1のボーリングコアから採取した薄片試料の観察結果によれば最新活動ゾーンの変位センスは、右ずれを伴う正断層である。
 ・最新活動ゾーン以下の特徴が認められることから、カタクレーサイトのみなる破砕部であると判断した。
 > (カタクレーサイト) 基質を構成する粘土鉱物は少ない。
 > (カタクレーサイト) 断層面に沿った帯状の粘土状態は局所的である。
 > (カタクレーサイト) 多様な粒径の岩片が多く認められる。
 > (カタクレーサイト) 角ばった岩片が多い。
 > (カタクレーサイト) ジグソー状の角礫群が認められる。
 > (カタクレーサイト) 塑性変形した雲母粘土鉱物が認められる。



No.1126-追9
(縮尺: 0-1mm)

H27-B-1 深度45.36~45.39m 拡大写真の縮尺 (No.1126-追9) を修正

従前

見直し後

令和3年7月16日提出資料
 敦賀発電所2号炉 敷地の地形、地質・地質構造について
 (コメント回答)
 補足説明資料3 薄片観察結果 (その1)
 補足3-97頁

令和3年7月16日提出資料に追記(青太枠)

H27-B-1 深度45.36~45.39m 非モデル化破砕部 (3/3)

・最新活動ゾーンには、以下の特徴が認められる。
 > 多様な粒径の岩片が多く認められる。(図3)
 > 角ばった岩片が多い。(図3)
 > ジグソー状の角礫群が認められる。(図3)
 > 塑性変形した雲母粘土鉱物が認められる。(図4)

破線はジグソー状の角礫群の範囲を示す。 500 μm

赤矢印は屈曲箇所を示す。 50 μm

赤矢印は屈曲箇所を示す。 50 μm

補足3-97

No.1126-追9

(縮尺 : 50μm)

・最新活動ゾーンには、以下の特徴が認められる。
 > 多様な粒径の岩片が多く認められる。(図3)
 > 角ばった岩片が多い。(図3)
 > ジグソー状の角礫群が認められる。(図3)
 > 塑性変形した雲母粘土鉱物が認められる。(図4)

破線はジグソー状の角礫群の範囲を示す 500 μm

赤矢印は屈曲箇所を示す 100 μm

赤矢印は屈曲箇所を示す 100 μm

第7.4.4.265図 (5) 破砕部性状 H27-B-1 深度45.36~45.39m (変位センス, 薄片観察による断層岩区分3/3)

No.1126-追9

(縮尺 : 100μm)